

ЭФФЕКТ ФРАНЦА – КЕЛДЫША
В ЛАЗЕРНО-СТИМУЛИРОВАННОЙ ПОЛЕВОЙ ДЕСОРБЦИИ
ТОНКИХ МОЛЕКУЛЯРНЫХ СЛОЕВ

С.Е.Егоров, В.С.Летохов, Е.В.Московец

Сообщается об экспериментальном исследовании лазерно-стимулированной однофотонной полевой десорбции. Спектральная зависимость ее описывается на основе эффекта Франца – Келдыша. Соответствующий сдвиг границы фотопроводимости в аморфном слое антрацена составляет $1,1 \pm 0,1$ эВ при величине электрического поля в вакууме $4 \cdot 10^7$ В/см.

1. Туннельные процессы в твердых телах вызывают значительный интерес. В применении к молекулярным конденсированным средам наиболее развит метод туннельной спектроскопии, основанный на использовании М – Д – М структур¹. Перспективным методом исследования туннельных процессов в атомных и молекулярных диэлектрических слоях является метод полевой десорбции^{2,3}. Туннельная структура в этом случае – тонкий диэлектрический слой, напыленный в вакууме на острие металлического эмиттера (W, Pt, Ir и т.д.). В данной работе впервые сообщается о проявлении эффекта Франца – Келдыша в однофотонной лазерно-стимулированной полевой десорбции тонких молекулярных слоев.

2. Экспериментальная установка представляет собой полевой ионный микроскоп² с возможностью ввода лазерного излучения. Исследования лазерной стимуляции полевой десорбции проводились с молекулярными слоями антрацена, напыленными на вольфрамовую иглу при комнатной температуре. Использовалось излучение импульсных эксимерных лазеров и лазеров на красителях.

На рис. 1 представлены экспериментальные зависимости интегрального количества N молекулярных ионов антрацена, десорбирующих с острия в результате облучения импульсом эксимерного XeCl ($\lambda = 308$ нм) лазера в зависимости от (а) потока энергии лазерного излучения Φ и (б) толщины адсорбированного слоя антрацена Δ . Напряженность поля на острие в вакууме составляла $4 \cdot 10^7$ В/см. Аналогичные линейные зависимости наблюдались в широком интервале напряженностей поля на острие на различных длинах волн лазерного излучения.

При уменьшении длины волны излучения наблюдалось монотонное нарастание эффективности γ лазерной стимуляции. Экспериментально измерялась эффективность стимуляции по отношению к эффективности на длине волны 308 нм ($\hbar\omega = 4$ эВ): $\gamma = \frac{N}{N_{308}} \cdot \frac{\Phi_{308}}{\Phi}$. На рис. 2 приведена зависимость γ от энергии фотона лазерного излучения для нескольких экспериментальных лазеров и лазеров на красителях, измеренная при напряженности поля на острие $4 \cdot 10^7$ В/см. На энергетической шкале отмечены энергия нижнего синглетного состояния ϵ_s , граница зоны проводимости ϵ_G и потенциал ионизации I_c кристаллического антрацена ⁴, а также разница между потенциалом ионизации I_c и работой выхода электрона из вольфрама ϕ .

Основные особенности наблюдаемой лазерно-стимулированной полевой десорбции: 1) линейная зависимость от потока энергии, указывающая на однофотонный механизм; 2) линейная зависимость от толщины адсорбированного слоя, указывающая на то, что стимуляция связана с процессом в объеме слоя; 3) наличие эффекта ниже красной границы поглощения кристаллического антрацена в отсутствие поля (и тем более ниже зоны проводимости); 4) монотонное увеличение эффективности стимуляции с ростом энергии фотона.

3. Лазерная стимуляция полевой десорбции, по-видимому, связана с ионизацией молекулярного слоя в электрическом поле, сопровождающейся поглощением фотона. Возможные элементарные процессы: а) фотоионизация, б) фотогенерация электронно-дырочных пар в материале эмиттера с последующим туннелированием электрона из молекулярного слоя на вакантный уровень в металле; в) резонансное поглощение фотона в слое с последующей туннельной ионизацией экситона; г) туннелирование, сопровождающееся поглощением фотона (эффект Франца – Келдыша). Перечисленная совокупность экспериментальных фактов качественно наиболее адекватно описывается с точки зрения эффекта Франца – Келдыша.

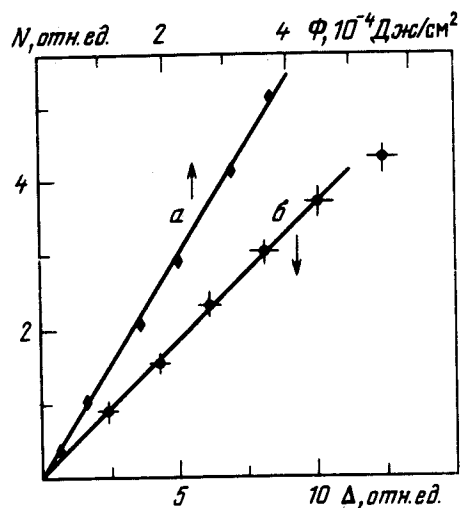


Рис. 1

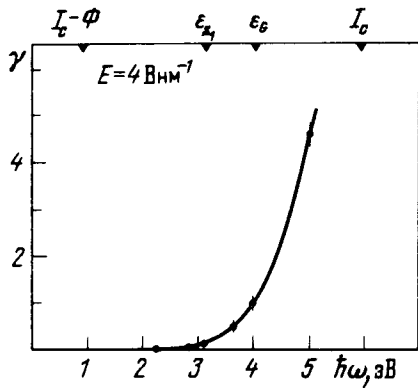


Рис. 2

Рис. 1. Зависимость сигнала лазерно-стимулированной полевой десорбции от (а) потока лазерного излучения (♦) и (б) толщины адсорбированного слоя антрацена (●).

Рис. 2. Эффективность лазерно-стимулированной полевой десорбции в зависимости от энергии фотона

Эффект Франца – Келдыша состоит в сдвиге границы собственного поглощения света в полупроводнике или диэлектрике в присутствие внешнего электрического поля ^{5,6}. В полях $10^7 \div 10^8$ В/см, реализующихся в наших экспериментах, должны наблюдаться значительные сдвиги границы фотопроводимости.

Эффект Франца – Келдыша приводит к спектральной зависимости вида:

$$\alpha(\omega) \propto \exp\left\{-\left(\frac{\epsilon_0 - \hbar\omega}{\Delta\epsilon}\right)^{3/2}\right\}, \quad (1)$$

$$\Delta\epsilon = \left(\frac{9e^2 E^2 \hbar^2}{32\mu}\right)^{1/3} = 1,29 E^{2/3} \mu^{-1/3}, \quad (2)$$

где ϵ_0 – расстояние между зонами, связанными туннельным переходом с поглощением фотона энергии $\hbar\omega$, $\mu^{-1} = m_e^{-1} + m_h^{-1}$ – приведенная масса электрона и дырки, E – напряженность электрического поля в диэлектрическом слое. В последнем выражении $\Delta\epsilon$ дано в эВ, напряженность поля E в 10^8 В/см = 1 В/А, μ – в массах свободного электрона. Подгонка экспериментальных данных для спектра эффективности лазерной стимуляции под выражение (1) дает: $\epsilon_0 = 5,9 \pm 0,5$ эВ; $\Delta\epsilon = 1,1 \pm 0,1$ эВ. Соответствующая кривая приводится на рис. 2.

Значение ϵ_0 совпадает с потенциалом ионизации кристалла антрацена, а не с шириной запрещенной зоны $\epsilon_G = 4$ эВ, что выглядит довольно естественно. Действительно, даже в идеальном кристалле антрацена зоны возбужденных электронных состояний, в том числе зоны проводимости, имеют небольшую ширину около 0,1 эВ, соответствующие эффективные массы электронов и дырок в 5 – 20 раз превышают массу свободного электрона (см. ⁴, стр. 268 – 269). Тонкий слой антрацена на вольфраме, по-видимому, является аморфным, соответственно уровни отдельных молекул хаотически распределены на ширине порядка 0,1 эВ и электроны и дырки локализованы. В этих условиях туннелирование с поглощением фотона эффективно происходит в состояния, соответствующие ионизации слоя антрацена. Энергия ионизации аморфного слоя примерно равна энергии ионизации кристалла.

Основная неопределенность при оценках величины $\Delta\epsilon$ связана с отсутствием данных о внутреннем электрическом поле. Имеются указания на то, что диэлектрическая проницаемость K в таких полях близка к единице. Положив для оценок $\mu = 1$, $K = 1$, получаем $\Delta\epsilon = 0,7$ эВ. Таким образом, полученное экспериментально значение $\Delta\epsilon = 1,1$ эВ кажется довольно разумным.

Наблюдение однофотонной лазерно-стимулированной полевой десорбции молекулярных ионов открывает возможность реализации идеи лазерного фотоионного микроскопа ⁷.

Литература

1. Khanna S.K., Lambe J. Science, 1983, **220**, 1345.
2. Мюллер Э., Цонь Т. Автоионная микроскопия. М.: Металлургия, 1972.
3. Beckey H. D. Principles of field ionization and field desorption mass spectrometry. Oxford: Pergamon, 1978.
4. Поп М., Свенберг Ч. Электронные процессы в органических кристаллах. М.: Мир, 1985.
5. Franz W. Z. Naturforsch., 1958, **13a**, 484.
6. Келдыш Л.В. ЖЭТФ, 1958, **34**, 1138.
7. Лихохов В.С. Квантовая электроника, 1975, **2**, 930.